



بررسی کانی‌سازی و منشأ مس چینه‌سان در منطقه چشمه‌کنان تسوج، استان آذربایجان شرقی

شاهرخ رجب‌پور^{۱*}، علی عابدینی^۱، صمد علیپور^۱، لیلا ذاکری^۲

۱) گروه زمین‌شناسی، دانشکده علوم، دانشگاه ارومیه

۲) گروه زمین‌شناسی، دانشکده علوم طبیعی، دانشگاه تبریز

دریافت مقاله: ۱۳۹۱/۹/۱۸، پذیرش: ۱۳۹۱/۴/۳

چکیده

منطقه چشمه‌کنان، در ۱۵ کیلومتری شمال‌غرب تسوج، استان آذربایجان شرقی واقع می‌باشد. مهمترین واحدهای سنگی این منطقه، ماسه‌سنگهای قرمز، ماسه‌سنگهای سبز- خاکستری، شیل و مارن (میوسن) هستند. براساس شواهد صحرایی و بررسیهای سنگنگاری، رسوبات میزبان در یک محیط مجاور جزر و مدی که با محیط سیخایی همراه بوده، تهنشست شده‌اند. کانی‌سازی مس در این منطقه به صورت چینه‌سان در ماسه‌سنگهای درشت‌دانه سبز- خاکستری احیایی رخ داده و شامل کانیهایی نظیر کالکوسیت، کولولیت، بورنیت، کالکوپیریت، مالاکیت و آزویریت می‌شود. با توجه به یافته‌های به دست آمده، کنترل کانی‌سازی در این منطقه در ارتباط با رخساره رسوبی ماسه‌سنگی و تمرکز مواد ارگانیکی است. تلفیق نتایج حاصل از بررسیهای صحرایی، سنگنگاری و کانه‌نگاری نشان‌دهنده آن است که عواملی چون دسترسی به لیگاندهای کلریدی، حضور مقادیر بالای تمرکزات مواد ارگانیکی، فرآیندهای دیاژنتیک، عملکرد مارن‌ها و شیل‌ها به عنوان سد زمین‌شیمیایی وجود سیستم‌های گسلی، نقش اصلی را در رخداد کانی‌سازی مس در منطقه چشمه‌کنان ایفا نموده‌اند. نتایج به دست آمده، گویای آن است که کانی‌سازی مس در این منطقه شباهت زیادی به کانسارهای مس رسوبی تیپ طبقات قرمز دارد.

واژه‌های کلیدی: کانی‌سازی مس، چشمه‌کنان، دیاژنز، مواد ارگانیکی، چینه‌سان.

مقدمه

زمین‌شناسی و اکتشافات معنده‌ی کشور [۳] است. در این تحقیق به تفصیل با استفاده از شواهد صحرایی، مطالعات سنگنگاری و کانه‌نگاری به بررسی مسائل یاد شده پرداخته شده است.

روش مطالعه

این پژوهش در دو بخش صحرایی و آزمایشگاهی انجام گردیده است. در بخش صحرایی پس از بازدیدهای مقدماتی و انجام پیمایش‌های زمین‌شناسی، مبادرت به نمونه‌گیری (به تعداد ۸۰ نمونه) در ۳ نیم‌رخ عمود بر کانی‌سازیهای مس و سنگهای درون‌گیر آنها گردید. در بخش آزمایشگاهی تعداد ۳۰ مقطع نازک و ۲۰ مقطع صیقلی از کانی‌سازیهای یاد شده و سنگهای درون‌گیر آنها تهیه شد و مورد مطالعه قرار گرفت. در این بخش برای شناسایی فازهای کانیایی نامشخص مبادرت به

منطقه چشمه‌کنان، به مختصات جغرافیایی "۱۰°، ۱۰°، ۴۵°، ۱۳°، ۴۵° طول شرقی و "۰۰°، ۲۰°، ۳۸° تا "۰۰°، ۲۰°، ۲۴° عرض شمالی، در فاصله ۱۵ کیلومتری شمال‌غرب شهر تسوج از توابع شهرستان شبستر و در ۱۳۵ کیلومتری غرب تبریز، استان آذربایجان شرقی واقع گردیده است. حضور کانی‌سازیهای گسترده‌ای از مس به شکل چینه‌سان در داخل طبقات ماسه‌سنگی سبز- خاکستری میوسن از جالبترین و چشم‌گیرترین سیماهای زمین‌شناسی اقتصادی این منطقه محسوب می‌گردد. علی‌رغم وجود این کانی‌سازی گسترده، تاکنون مطالعات جامعی در خصوص روند این کانی‌سازی، زنگ، سازوکارها و عوامل مؤثر در تشکیل آنها صورت نگرفته و تنها اطلاعات موجود از این منطقه مربوط به مطالعات زمین‌شناسی ناحیه‌ای [۱] و [۲] و اکتشافات چکشی توسط سازمان

(۱) واحد M^{CL} : این واحد از کنگلومراهای ضخیم لایه تشکیل شده که پایه رسوبات میوسن را نیز در منطقه تشکیل می‌دهد، رنگ هوازده آن قرمز رنگ بوده و ضخامتی بالغ بر ۱۰۰ متر دارد.

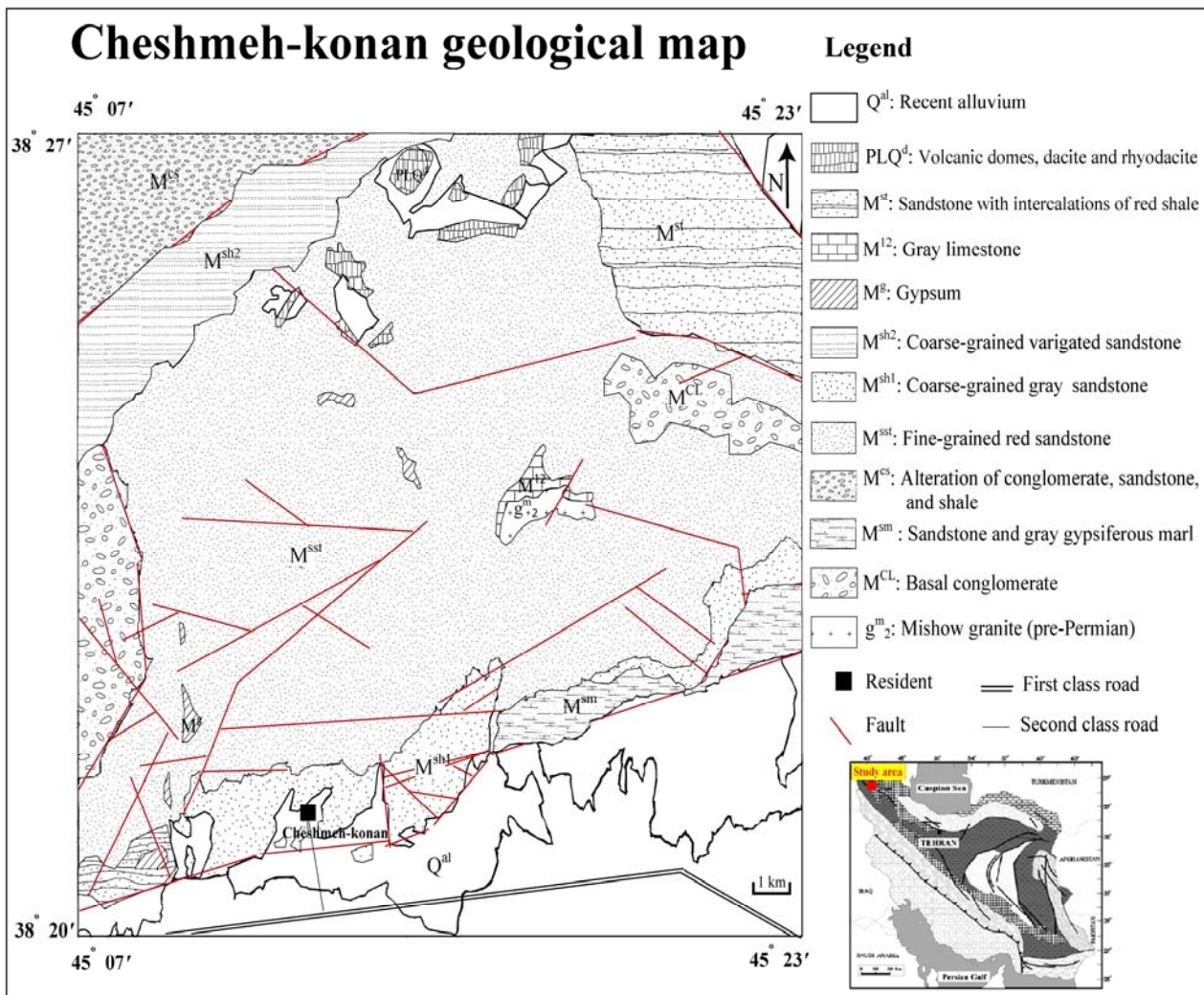
(۲) واحد M^{sst} : این واحد از ماسه‌سنگهای قرمز رنگ و طبقات تبخیری (ژیپس و هالیت) به صورت بین‌لایه‌ای تشکیل شده است. واحد یاد شده نسبت به سایر واحدهای میوسن از گستردگی قابل ملاحظه‌ای برخوردار و دارای لایه‌بندی منظمی است. رسوبات این واحد به صورت متناوب و بین‌لایه‌ای با واحدهای M^{sh2} و M^{sh1} قرار دارند (شکل ۱). به طور کلی این واحد بزرگ که به نام طبقات قرمز معروف است، فاقد کانی‌زایی مس می‌باشد.

انجام آنالیز پراش پرتو X (XRD) به تعداد ۱۲ نمونه در سازمان زمین‌شناسی و اکتشافات معدنی کشور گردید.

بحث و بررسی

مطالعات صحرایی

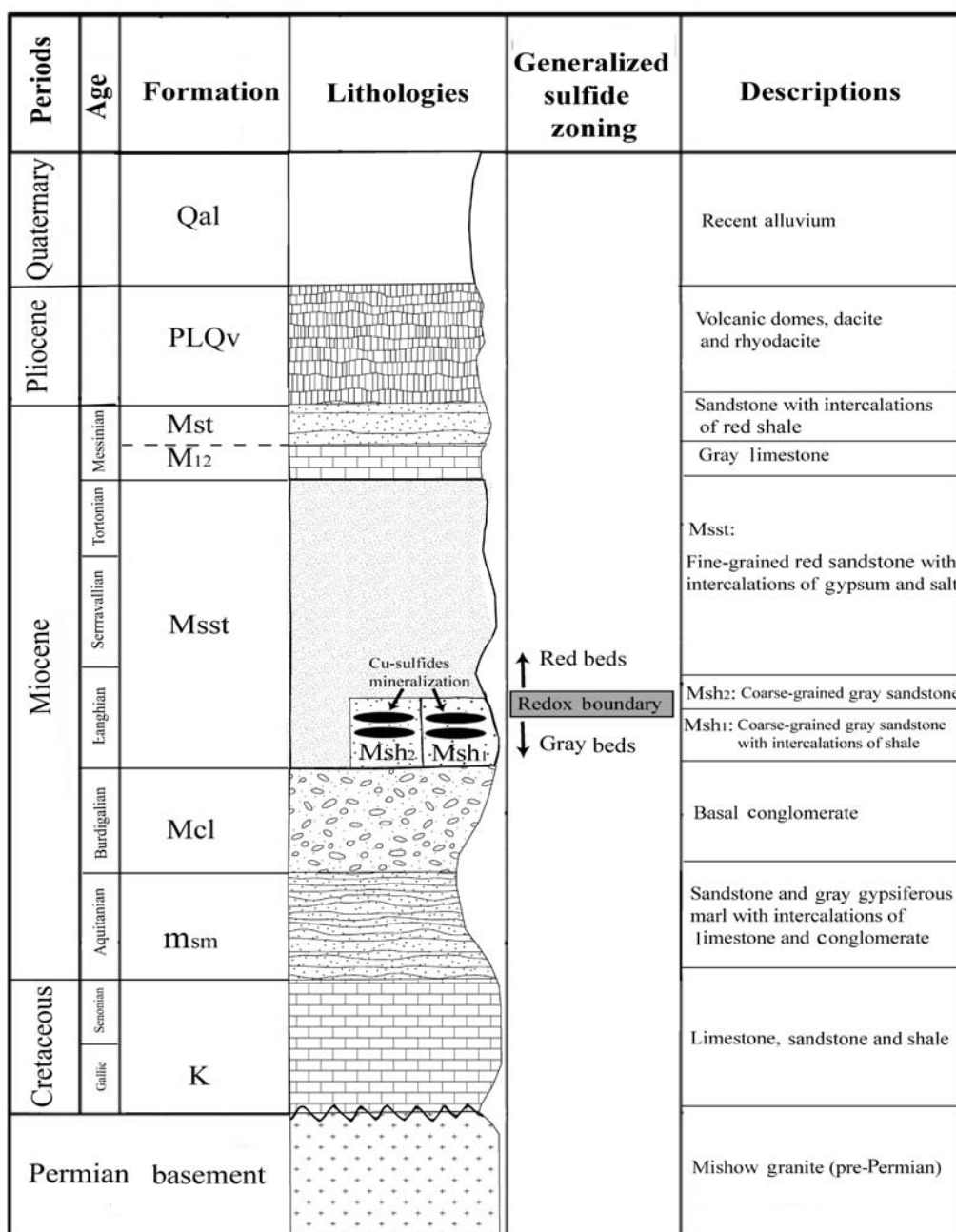
منطقه چشمکان در روند شمال غربی زون تکتونیکی سنندج-سیرجان، بخشی از زمین‌ساخت ایران مرکزی را تشکیل می‌دهد و یا مرتبط با زون خوی-ماکو می‌باشد [۴]. در محدوده مورد مطالعه اغلب واحدهای زمین‌شناسی مربوط به دوره زمانی میوسن است که با واحد کنگلومراهای آغاز شده و به ماسه‌سنگها ختم می‌شوند (شکل ۱). مهمترین واحدهای سنگی منطقه مورد مطالعه عبارتند از:



شکل ۱. نقشه زمین‌شناسی منطقه مورد مطالعه. برگرفته از [۶] و [۲] با اندکی تغییرات

سبز- خاکستری با میان‌لایه‌های نازک شیل و مارن غنی از مواد آلی تشکیل شده است. ترکیبات مس (مخصوصاً مالاکیت) در این واحد نیز دیده می‌شوند، اما مقدار کانی‌زایی سولفیدی مس در آن نسبت به واحد M^{sh1} به مراتب ضعیفتر است. ستون چینه‌شناسی منطقه چشمه‌کنان در شکل ۲ نشان داده شده است.

(۳) واحد M^{sh1} : این واحد از ماسه‌سنگ سبز- خاکستری به همراه میان‌لایه‌های نازک شیل و مارن غنی از مواد آلی تشکیل شده است. در منطقه مورد مطالعه این رسوبات به صورت توالی و بین‌لایه‌ای با واحدهای M^{sst} و M^{sh2} قرار دارند. در این واحد ترکیبات غنی از مس مشاهده می‌گردد.
(۴) واحد M^{sh2} : این واحد همانند واحد M^{sh1} از ماسه‌سنگ



شکل ۲. ستون چینه‌شناسی منطقه چشمه‌کنان و موقعیت افقهای احیایی کانه‌دار

طبقات احیایی و هم در طبقات قرمز فرو دیواره می‌باشد [۱۳، ۱۴، ۱۵، ۱۶ و ۱۷]. در ذخیره چشمکنان طبقات قرمز فرودیواره از رسوبات آواری قرمز رنگ ریزدانه تشکیل شده‌اند و تحت عنوان واحد M^{sst} معرفی گردیده‌اند. طبقات سبز- خاکستری شامل ماسه‌سنگ و شیل به صورت میان‌لایه‌اند. در قسمت بالایی تحت عنوان واحدهای ماسه‌سنگی M^{sh1} و M^{sh2} نام‌گذاری شده‌اند.

مطالعات سنگنگاری نشان می‌دهند که ماسه‌سنگهای میوسن در این منطقه به طور عمده حاوی کانیهای کوارتز، پلازیوکلاز، فلدسپار پتاسیم، میکا، خردسنسنگ و چرت می‌باشند. این اجزا (که احتمالاً حاصل تخریب و هوازدگی سنگهای رسوبی و آذرین مثل دیبوریت و گابرو می‌باشند) توسط سیمان کربناته (کلسیت و دولومیت) با تبلور اسپاری (۳ تا ۵ درصد)، اکسیدهای آهن (۲ تا ۳ درصد) و رسها (۴ تا ۱۰ درصد) بهم متصل شده‌اند. کوارتزها متشکل از دانه‌های آواری زاویده‌دار تا نیمه‌گرد شده با میانگین قطری بین ۰/۰۱ تا ۰/۵ میلی‌متر کانی اصلی (۵۵ تا ۶۵ درصد) ماسه‌سنگها می‌باشند. همچنین خردسنسنگهای رسوبی از نوع چرت و میکا از ترکیبات اصلی این سنگها محسوب می‌شوند.

بررسیهای میکروسکوپی حکایت از آن دارند که میزان فلدسپار (پلازیوکلاز، آلبیت و ارتوکلاز)، در این سنگها بالا بوده، به‌طوری که اغلب ماسه‌سنگها دارای جورشدنگی خوب و بلوغ بافتی مناسبی هستند. رخساره سنگی آنها بر اساس طبقه‌بندی فولک [۱۸] در محدوده لیت‌آرنایت، ساب لیت‌آرنایت و ساب‌آرکوز قرار می‌گیرد (شکل ۳). تصاویر میکروسکوپی از ماسه‌سنگهای دانه‌درشت (طبقات سبز- خاکستری)، جانشینی دولومیت دانه‌درشت به جای فلدسپارها در ماسه‌سنگهای ساب لیت‌آرنایتی (شکل ۴-الف)، و همچنین حضور کالکوسيت همراه با بیوتیت و کوارتز در ماسه‌سنگهای ساب‌آرکوزیک (شکل ۴-ب) و جانشینی کلریت توسط مالاکیت در اطراف رخ و حاشیه دانه‌ها (شکل ۴-ت) را به‌وضوح نشان می‌دهند.

کانه‌نگاری، ساخت و بافت

مهمترین کانیهای سولفیدی موجود در نهشته مس چشمکنان عبارتند از پیریت، کالکوپیریت، بورنیت، کالکوسيت و کوولیت. این کانیها به صورت بافت‌های دانه‌پراکنده،

کانی‌سازی در منطقه به دلیل هوازدگی سطحی سولفیدهای مس در سطح رخمنوهای سنگی، به شکل کانیهای کربناته مس شامل مالاکیت و آزوریت گسترش یافته و مقدار کانی مالاکیت بیشتر از آزوریت است. مطالعات ساختاری محدوده چشمکنان حاکی از حضور سیستم‌های گسلی متعدد دارد که واحدهای سنگی رخمنون یافته در منطقه را تحت تأثیر قرار داده‌اند. روند واحدهای سنگی منطقه در برخی نقاط بر اثر عملکرد گسلها دچار تغییر شده است. تعدادی از این گسلها عمیق بوده و ادامه آنها تا پی‌سنگ کشیده شده است. از مهمترین این گسلها در منطقه مورد بررسی می‌توان به گسل تسوج- میشو و گسل چشمکنان- توپچی اشاره کرد [۴، ۵، ۶ و ۷]. مهمترین رخداد زمین‌شناسی مربوط به این ناحیه که به کانی‌سازی فلزی منجر گردیده است، فاز کوهزایی آسترین (Austrain) می‌باشد [۴]. عملکرد این فاز سبب تشکیل طبقات قرمز بالایی شده است. به دنبال آن عملکرد فاز بزرگ کوهزایی پاسادین، سازندها را در برخی مناطق از جمله منطقه مورد مطالعه به شدت تغییر داده و موجب چین‌خوردگیهای شدید در آنها شده است [۴]. این ساختارهای خطی به دلیل ویژگیهای خاص خود که عمدتاً گسلهایی با شیب تند می‌باشند، به نظر می‌رسد معبری مناسب برای عبور سیالات محبوس فسیلی بوده‌اند و منجر به رخداد دگرسانیها و کانه‌زاییهای گستردۀ در این منطقه شده‌اند. براساس مطالعاتی که بر روی اغلب نهشته‌های مس رسوبی دنیا صورت پذیرفته، علاوه‌بر این کانال‌های عبوری، حضور توده‌های نفوذی نیز می‌تواند عامل مهمی در برقراری چرخه سیالات محبوس فسیلی محسب گردد [۸، ۹، ۱۰ و ۱۱ و ۱۲]، اما در منطقه چشمکنان توده نفوذی (گرانیت میشو) موجود در منطقه که سنی قبل از پرمین داشته و واحدهای رسوبی میوسن به صورت دگرشیبی بر روی آن قرار گرفته اند [۲]، به دلیل قدیمی‌تر بودن نمی‌توانند نقشی در برقراری چرخه سیالات داشته باشند. زون‌های کانی‌سازی شده در این منطقه به شکل چینه‌سان بوده و دارای ضخامتی متغیر بین ۰/۱ تا ۱ متر و طولی متغیر از ۳ تا ۱۰ متر می‌باشند.

سنگنگاری

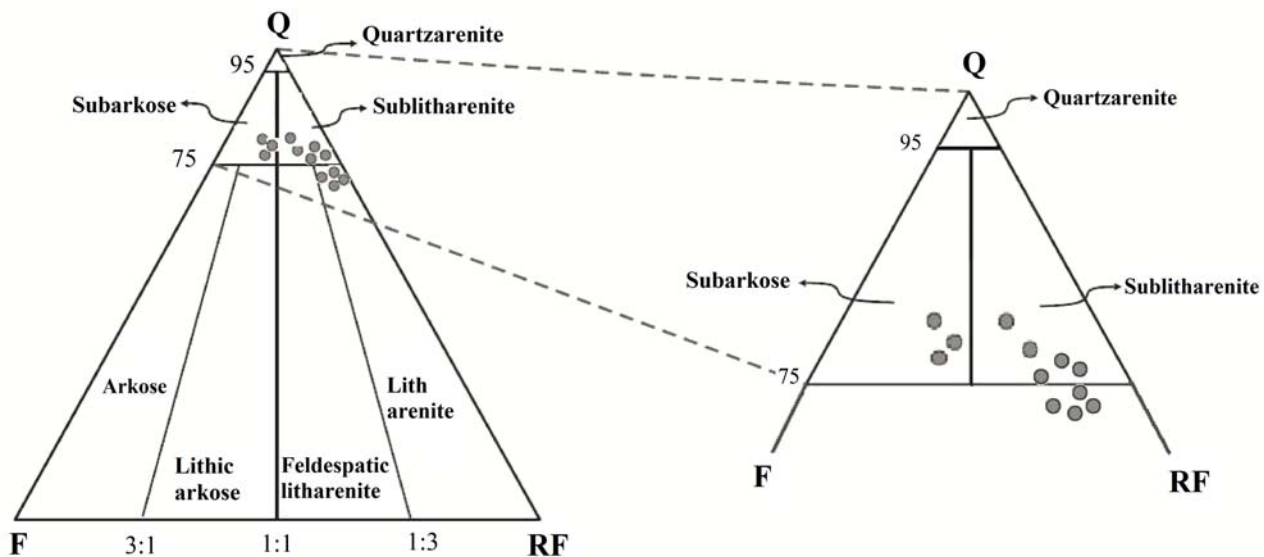
تعیین شرایط کانی‌سازی کانسارهای مس چینه‌سان با سنگ میزبان رسوبی نیازمند مطالعات گستردۀ هم در سنگ میزبان

کانی‌شناسی، تشکیل و تمرکز کانه‌زایی در چشمکنان در ۴ مرحله، ۱) رسوب گذاری، ۲) دیاژنز، ۳) تغییرشکل تکتونیکی و ۴) اکسیداسیون بروزن زاد صورت گرفته است.

جانشینی، سیمان میان‌دانه‌ای و درزه‌های انحلالی دیده می‌شوند که در بخش‌های بعدی به آنها اشاره خواهد شد.

مراحل تشکیل و تکوین کانه‌زایی

بر اساس مطالعات کانه‌نگاری و بررسی ساخت و بافت و



شکل ۳. موقعیت نمونه‌های مورد مطالعه در نمودار سه متغیره کوارتز (Q)، فلدوپار (F) و خرد سنگ (RF) [۱۸]..

دانه‌پراکنده وجود دارند (کوچکتر از ۱ سانتی‌متر) که به نظر می‌رسد از نوع سین دیاژنتیک بوده و در بین رسوبات تحکیم نیافته اولیه تشکیل شده‌اند. به نظر می‌رسد که در نهشته مس چشمکنان دانه‌های پراکنده پیریت در مراحل اولیه دیاژنز تشکیل شده‌اند سپس در مرحله بعدی سیالات حاوی مس، در برخورد با پیریت، مس را جای‌گزین کرده و کانه‌های سولفیدی کالکوپیریت، بورنیت و کالکوسیت به صورت بافت جانشینی تشکیل داده‌اند. در مواردی بقایای پیریت‌های اولیه هنوز مشاهده می‌گردد (شکل ۴-۵).

مراحل تشکیل سولفیدهای آهن- مس و سولفیدهای مس (Ore-stage)

مراحله عمدۀ کانی‌زایی ذخیره چشمکنان با سولفیدهای افسان قابل تشخیص است. سولفیدهای مس اولیه به صورت سیمان در ماسه‌سنگهای سبز- خاکستری تشکیل شده‌اند و به‌ندرت با چشم غیر مسلح قابل تشخیص هستند. شواهد کانه‌نگاری حکایت از آن دارند که زون‌های مینرالیزه در منطقه

مراحله قبل از کانه‌زایی: پیریت، سولفید قبل از کانی‌سازی (Pre-ore Stage)

بخش‌های کانی‌سازی نشده و احیایی ماسه‌سنگهای سبز- خاکستری دارای دو نسل مختلف پیریت هستند (شکل ۴): ۱) پیریت‌های ریز و خودشکل افسان (Disseminated) (در اندازه ۱۵ میکرون) (شکل ۴-ث، ۴-ج و ۴-چ) که غالباً در اطراف مواد ارگانیکی به‌علت احیا شدن محیط حضور داشته و مربوط به مرحله تشکیل کانه هستند و ۲) پیریت‌های فرامبوئیدال (Framboidal) (با اندازه‌های معمول ۲۵ میکرون تا ۱ میلی‌متر و یا بزرگتر (شکل ۴-ح و ۴-خ) و تجمعات بلوغ‌یافته آنان که مربوط به مراحل اولیه دیاژنز و قبل از کانی‌سازی بوده و به احیای محیط و ایجاد سیال احیایی کمک نموده‌اند. تجمع بالای پیریت‌های بسیار دانه‌ریز در مجاورت مواد ارگانیکی دیده می‌شود که به احتمال زیاد فعالیت غیراکسیدی و احیاء سولفات باکتریایی را پیشنهاد می‌کند. در کنار انبوه‌هایی با بافت تمثکی، انبوه‌های نودولی شکل از پیریت‌های بسیار دانه‌ریز نیز در فضای بین‌دانه‌ای دارای بافت

بورنیت است (شکل ۵-۵-ذ و ۵-ر) و به صورت جانشینی در پیریت فرامبوموئیدال نسل اول، پیریت دانه پراکنده (بقایای پیریت‌های اولیه در شکل ۴-د)، سیمان کلسیتی (شکل ۵-ب)، دانه‌های فلدسپار دگرسان شده (شکل ۴-ر) و همچنین به صورت سیمان میان‌دانه‌ای دیده می‌شود. این نوع کالکوسیت به صورت دانه پراکنده و در بخش‌های غنی از فسیل گیاهی تشکیل شده است. ۲) نسل دوم کالکوسیت از تبدیل کالکوپیریت و بورنیت جانشین شده در فسیلهای گیاهی و در طی عملکرد فرآیندهای برون‌زاد (Supergene) از دگرسانی سولفیدهای مس به وجود آمده است (شکل ۵-د). نکته قابل ذکر آن است که کالکوپیریت، بورنیت و کالکوسیت نیز جانشین پیریت‌های تشکیل شده در مرحله قبلی (اوائل دیاژنز) شده‌اند.

در بافت سیمان میان‌دانه‌ای که حالت خاصی از بافت دانه پراکنده است، فضای بین‌دانه‌های سنگ میزبان توسط سولفیدهای مس اشباع شده پر شده است. این سولفیدها اطراف دانه‌های آواری (کوارتز و فلدسپار) تجمع یافته‌اند [۱۹]. بافت سیمان میان‌دانه‌ای در نهشته مس چشمکنان در بخش‌های با تمرکز بالای سولفید و غنی از فسیل گیاهی مشاهده می‌گردد (شکل ۴-د و شکل ۵-ح و ۵-خ).

بورنیت به طور عمده همراه کالکوپیریت مشاهده می‌گردد. این کانی به شکل دانه‌های پراکنده نامنظم و همچنین به صورت اشکال کاذب بعد از پیریت شکل‌دار سیار دانه‌ریز قابل رویت است. دانه‌های نامنظم بورنیت معمولاً خلل و فرج بین‌دانه‌ای اولیه و دیاژنتیکی تأخیری را پر کرده‌اند. بر اساس رنگ، دو نوع مختلف بورنیت قابل تشخیص است: ۱) بورنیت صورتی (شکل ۵-خ) که معمولاً غنی از گوگرد بوده و ۲) بورنیت بنفش (شکل ۵-د) که فقیر از گوگرد و غنی از مس می‌باشد [۲۲]. هر دو نوع بورنیت منطقه‌بندی خاصی از خود نشان نمی‌دهند ولی نوع صورتی در بخش‌های بالایی فراوانتر است.

بعضًا بورنیت صورتی شکل در هم‌بافت (intergrowth Weave) را با کالکوپیریت نشان می‌دهد (شکل ۵-خ). بر اساس براون [۲۳] و رز [۲۲] چنین ترکیب برای بورنیت می‌تواند یک حالت نیمه‌پایدار "مس طبقات قرمز" باشد که در ابتدا در طی تبلور سریع در دماهای پایین تشکیل شده است. در مقاطع میکروسکوپی بورنیت صورتی رنگ معمولاً در تماس با کالکوپیریت ظاهر می‌شود (شکل ۵-خ) و جایی که کالکوسیت

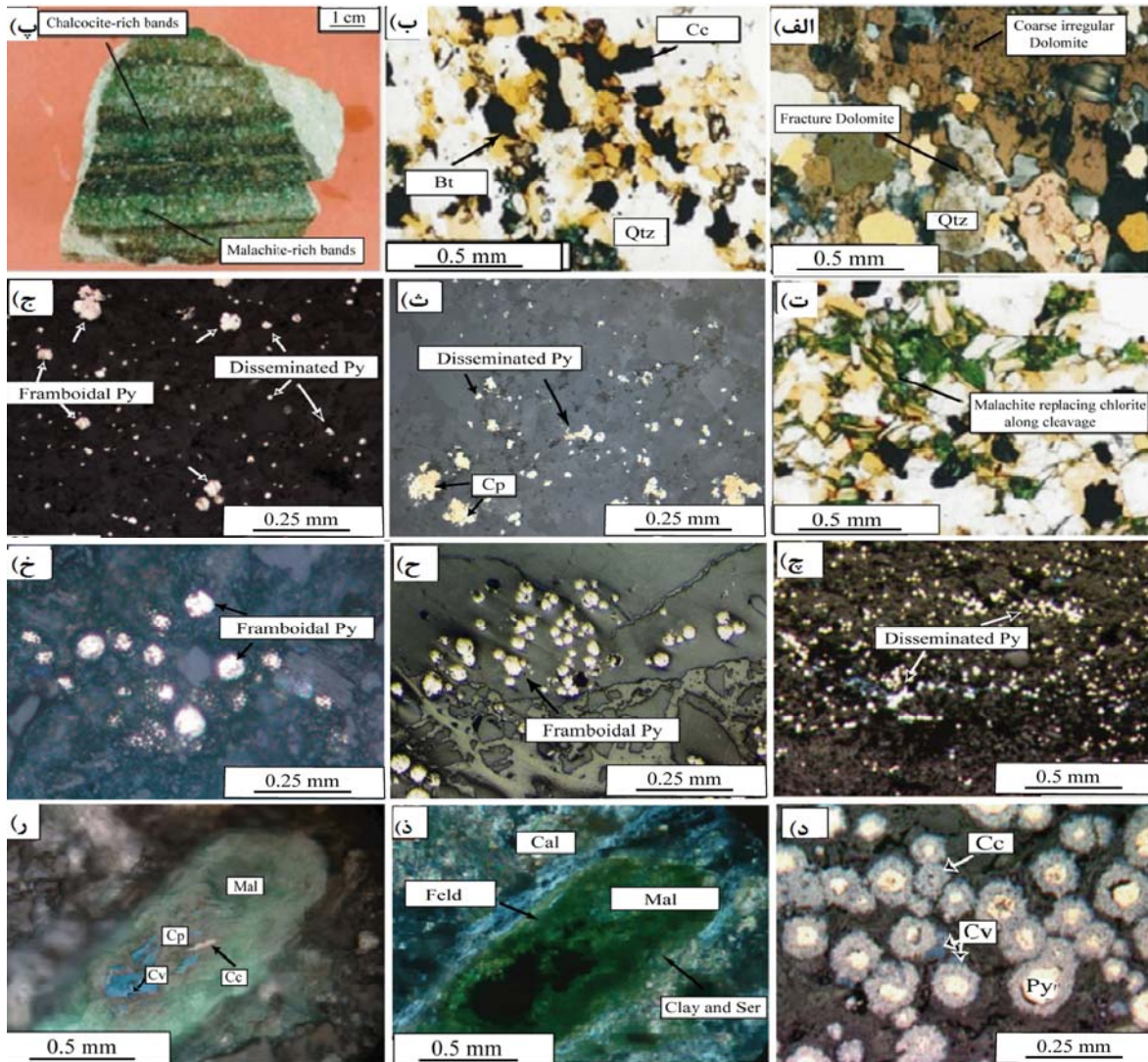
به چهار فرم توسعه یافته‌اند: ۱) حضور در حفرات حاصل از انحلال دانه‌های فلدسپار (شکل ۴-۴-ذ و ۴-ر)، ۲) پرکننده فضاهای خالی ناشی از انحلال فشاری توسط دیاژنز با بافت درزه انحلالی (شکل ۵-الف و ۵-ب)، ۳) جانشینی سولفیدهای مس در ساختارهای سلولی فسیلهای گیاهی (شکل ۵-ت، ۵-ث، ۵-ج و ۵-ج) و ۴) به صورت سیمان میان‌دانه‌ای (نوعی از بافت جانشینی) به‌طوری که فضای بین دانه‌های سنگ میزبان توسط سولفیدهای مس اشباع شده (Impregnant copper sulphide) پر شده و این سولفیدها در اطراف دانه‌های آواری (کوارتز و فلدسپار) تجمع یافته‌اند [۱۹]. (شکل ۵-ح، ۵-خ و ۵-د). همچنین قرارگیری سولفیدهای مس اولیه در فضای خالی میان‌دانه‌ها به صورت سیمان بین‌دانه‌ای می‌تواند بافت دانه پراکنده ایجاد کند [۲۰] که در نهشته مس چشمکنان دیده می‌شود. بافت جانشینی مهمترین و غالب‌ترین بافت موجود در این نهشته است.

سولفیدهای مس (کالکوپیریت، بورنیت و کالکوسیت) مشخصاً در مراحل نهایی دیاژنز به صورت بافت جانشینی تشکیل شده‌اند. کوولیت کانی ثانویه بوده و از دگرسانی سایر سولفیدهای مس به وجود آمده است. با توجه به بررسیهای کانه‌نگاری، سولفیدهای مرحله تشکیل کانه به ترتیب تشکیل توالی پاراژنزی به قرار زیرند (شکل ۲): کالکوپیریت-بورنیت-کالکوسیت.

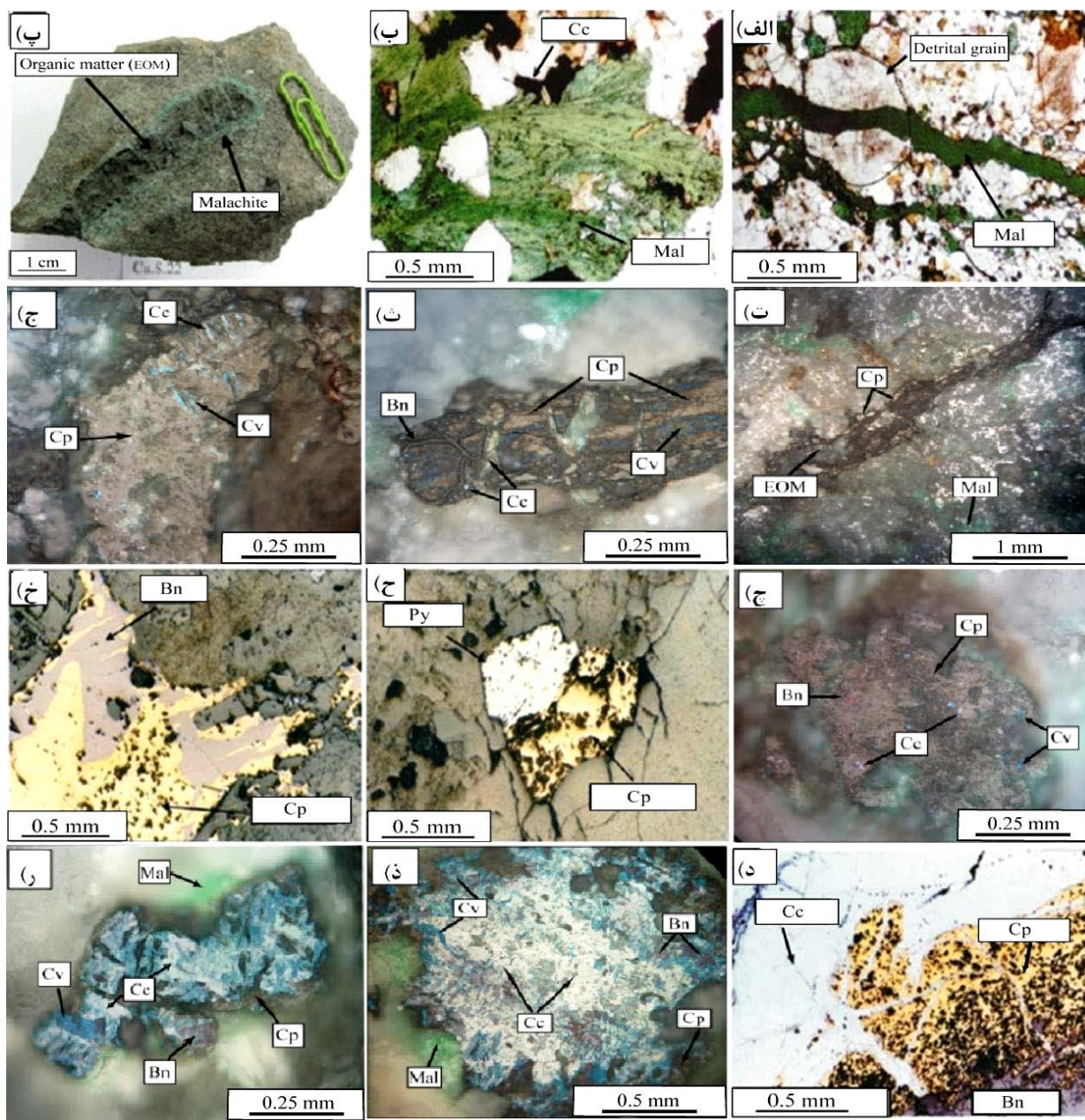
در تمام کانیهای سولفیدی مانند پیریت، کالکوپیریت، بورنیت، کالکوسیت، کوولیت و نیز کانیهای غیرسولفیدی مانند مالاکیت و آزوریت، بافت جانشینی که بافت اصلی در نهشته مس چشمکنان است، مشاهده می‌گردد. شرایط احیایی حاصل از مواد آلی، محیط مناسبی برای تشکیل و جانشینی کانیهای سولفیدی در آنها ایجاد نموده است [۲۱]. چنین شرایطی باعث جانشینی کالکوپیریت و بورنیت، به جای سولوهای گیاهی به صورت رگه‌چههای بزرگ (شکل ۵-ت، ۵-ث، ۵-ج و ۵-ج) و همچنین سبب جانشینی داخل پیریت (شکل ۵-ح) شده است. سولفیدهای غنی‌تر از مس نظیر بورنیت و کالکوسیت در میان کالکوپیریت به صورت بافت جانشینی به وضوح قابل تشخیص هستند (شکل ۵-خ و ۵-د). کالکوسیت (کانی اصلی سولفیدی موجود در نهشته مس چشمکنان) نیز همانند پیریت دو نسل دارد: ۱) نسل اول که در طی فرآیند کانه‌زایی تشکیل شده و شبیه کالکوپیریت و

مس) مشاهده می‌گردد (شکل ۵-د).

در حواشی بورنیت قرار دارد، بورنیت بنفسنجنگ (غنى از



شکل ۴. تصاویر میکروسکوپی ماسه‌سنگهای دانه‌درشت (طبقات سبز- خاکستری). الف) جانشینی دولومیت دانه‌درشت به جای فلدوپارها در ماسه‌سنگهای ساب لیت‌آرنایتی (نور xpl). ب) حضور کالکوسيت همراه با بیوتیت و کوارتز در ماسه‌سنگهای ساب آرکوزیک (نور ppl). پ) تصویر مزوکسکی از کانی‌زایی کالکوسيت چینهسان و مالاکیت در داخل ماسه‌سنگهای ساب آرکوزیک. ت) جانشینی کلریت توسط مالاکیت در اطراف رخ و حاشیه دانه‌ها (نور ppl). ث) پیریت دانه‌ریز دارای بافت پراکنده یا افshan (Disseminated) و بافت جانشینی کالکوپیریت موجود در داخل پیریت دانه‌ریز (نور ppl). ج) پیریت دانه‌ریز دارای بافت پراکنده یا افshan و پیریت‌های دانه‌درشت‌تر دارای بافت تمشکی که در متن سنگ میزبان ساب آرکوزی پراکنده شده‌اند. ج) پیریت‌های دارای بافت پراکنده یا افshan که در متن سنگ میزبان ساب آرکوزی توزیع شده‌اند. ح و خ) پیریت‌های دارای بافت تمشکی یا فرامبوئیدال (Framboidal)، (نور انکاسی xpl)، (نور انکاسی xpl)، (نور انکاسی xpl). د) تشکیل کالکوسيت و کوولیت به صورت بافت جانشینی در اطراف پیریت‌های اولیه (سین‌دیاژنتیک). ذ) جانشینی مالاکیت داخل فلدوپار و تشکیل کانیهای رسی از دگرسانی فلدوپار اولیه (نور xpl). ر) کانی‌سازی مس به فرم کالکوپیریت، کالکوسيت، کوولیت و مالاکیت (نور انکاسی xpl). علایم اختصاری به کار رفته عبارتند از: Qtz: کوارتز، Feld: فلدوپار، Bt: بیوتیت، Cc: کالکوسيت، Cv: کوولیت، Cp: کالکوپیریت، Mal: مالاکیت.



شکل ۵. تصاویر میکروسکوپی و مزوسکوپی ماسه‌سنگ‌های دانهدشت (طبقات احیایی). (الف) بافت درزه اتحالی حاصل از اتحال فشاری در فرآیند دیاژنر داخل کوارتز آواری که توسط ملاکیت پر شده است (نور xpl). (ب) تشکیل کالکوسیت و بلورهای شعاعی ملاکیت در ماسه‌سنگ‌های ساب‌آرکوزیک (نور xpl). (پ) کانی‌زایی ملاکیت در اطراف مواد ارگانیکی در اثر دگرسانی بروزنزاد. (ت) کانی‌سازی کالکوپیریت در اطراف مواد ارگانیکی (نور xpl). (ث) پاراژنر کانی‌زایی سولفیدی مس به صورت جانشینی در ماسه‌سنک ساب‌آرکوزیک (نور xpl). (ج) پاراژنر کانی‌زایی سولفیدی مس به صورت بافت جانشینی در ماسه‌سنک ساب‌آرکوزیک (نور xpl). (خ) جانشینی کالکوپیریت داخل پیریت در ماسه‌سنگ‌های ساب‌آرکوزیک. (ح) جانشینی کالکوپیریت توسط بورنیت در ماسه‌سنگ‌های ساب‌آرکوزیک. (د) جانشینی کالکوسیت داخل کالکوپیریت و بورنیت. (ذ و ر) پاراژنر کانی‌زایی سولفیدی مس به صورت بافت جانشینی به ترتیب در ماسه‌سنک ساب‌آرکوزیک و لیت‌آرنایتی. علایم اختصاری به کار رفته عبارتند از: Cc: کالکوسیت، Cv: کوولیت، Bn: بورنیت، Cp: کالکوپیریت، Py: پیریت، Mal: ملاکیت و EOM: مواد ارگانیکی. تمامی تصاویر به جز الف و ب در نور پلاریزه انعکاسی و به صورت xpl تهیه شده‌اند.

با توجه به مشاهدات کانه‌نگاری توالی پاراژنزی را می‌توان به صورت زیر ترسیم کرد (شکل ۶): ۱) مرحله سینزنتیک (برای وقایع دیاژن‌تیکی بدوی بوده که در رسوبات به محض تهشین شدن و در طی تدفین خیلی کم عمق آنها به وجود آمده است)، ۲) مرحله دیاژنز اولیه (در طی مراحل تدفینی با عمق متوسط اعمال شده است)، ۳) مرحله دیاژنز پیشرفته (در طی تدفین عمیق رسوبات به وجود می‌آید)، ۴) به دنبال مراحل یاد شده اثر فعالیتهای تکتونیکی (تعویرشکل، درزهای شکستگیها) که در اثر فاز کوه‌زایی پاسادینین در منطقه به وجود آمده است و ۵) در نهایت دگرسانی‌های برون‌زاد تأخیری که در سنگ میزبان و کانی‌سازی موجود به‌موقع پیوسته است. در شکل ۶ خلاصه‌ای از روابط زمانی، وقایع و مشخصات ویره سنگ میزبان در طی کانی‌زایی مرحله تشکیل کانه‌ها و سایر جانشینیهای کانی‌زایی که در مطالعات میکروسکوپی مشخص گردیده، نشان داده شده است.

نقشه شماری ماسه‌سنگهای مینرالیزه

نتایج نقطه‌شماری و ابعاد اندازه دانه‌ها برای ماسه‌سنگهای کانی‌سازی شده در جدول ۱ نشان داده شده است. تقریباً اغلب دانه‌های فلدسپار دچار دگرسانی شده‌اند و تنها تعداد محدودی از آنها دستخوش دگرسانی نگشته‌اند (جدول ۱). در بین ۶ نمونه مطالعه شده، درصد بالاتر فلدسپارهای دگرسان شده با مقدار بالای مس هموکوانی دارند (شکل ۷-الف). اندازه دانه‌ها در بین ۶ نمونه ماسه‌سنگی بازه‌ای از $0/32$ تا $0/55$ میلی‌متر را نشان می‌دهد. بطوطر عمدۀ این بازه کوچک اندازه دانه به ماهیت خوب جورشده‌گی ماسه‌سنگهای چشمکه‌کنان وابسته است. در میان این بازه کوچک، ارتباطی نسبی بین اندازه دانه و محتوای مس وجود دارد. بدین صورت که نمونه‌های با اندازه دانه‌بزرگ‌تر ($0/55$ میلی‌متر) دارای مقادیر بالاتری از مس ($0/6/2$) هستند (جدول ۱ و شکل ۷-ب). مقدار کلسیت در نمونه‌های مورد مطالعه متغیر بوده و بعض‌اً به $4/2\%$ می‌رسد (جدول ۱). همچنین، نتایج نقطه‌شماری بین نسبت مواد ارگانیکی و مقدار مس آشکار می‌کند که نمونه‌های با مقدار بالاتر مواد ارگانیکی دارای بالاترین مقدار مس هستند (شکل ۷-پ). درصد رسهای اولیه بازه‌ای بین ۴ تا ۱۰ درصد را نشان می‌دهد. در کل به‌نظر می‌رسد که رابطه معکوسی بین درصد مقدار رس و مقدار مس در نمونه‌ها وجود دارد (شکل ۷-ت).

مرحله بعد از تشکیل کانه (Post-ore) کانه (ore-stage) در جانشینی کانی‌های مرحله تشکیل کانه (ore-stage) با وقوع فرآیند سیلیسی شدن ماسه‌سنگهای سبز- خاکستری با وقوع فرآیند سیلیسی شدن که به از بین رفتن خلل و فرج و نفوذ پذیری منجر شده، به پایان رسیده است. وقایع بعد از تشکیل کانه به دیاژنز تدفینی پیشرفت، هم‌پوشانی تکتونیکی (شامل درزه و شکافهای فاز تأخیری سنگ میزبان) و دگرسانی برون‌زاد وابسته است (شکل ۶). سیلیسی شدن بعد از تشکیل کانه شامل کوارتز و به مقدار کمتر فلدسپار پتابسیم است که در طی تراکم تدفینی عمیق، حفظ شده‌اند. تعویر شکل تکتونیکی فاز کوه‌زایی پاسادینین مربوط به مرحله بعد از تشکیل کانه (post-ore) در ذخیره چشمکه‌کنان بسیار حائز اهمیت است. اکسیداسیون سطحی به مقدار فراوانی به صورت مالاکیت و آزوریت در رخمنوهای کانی‌سازی شده و نیز به صورت گوتیت و سایر اکسیدهای آهن (مخصوصاً واحد M^{sh2}) در جایی که این واحدها حاوی پیریت هستند، به‌وضوح دیده می‌شود. بطوطر کلی کانی‌سازی برون‌زاد شامل کربنات‌های مس (مالاکیت و آزوریت) و اکسیدها و هیدروکسیدهای آهن (هماتیت، گوتیت و لیمونیت) می‌باشد. مالاکیت و به مقدار کمتر آزوریت در حاشیه کانه‌های کالکوپیریت، بورنیت، کوولیت و کالکوپسیت تشکیل شده‌اند و شکافهای داخل ماسه‌سنگها را اشغال نموده‌اند (شکل ۵-ذ و ۵-ر). در مقاطع میکروسکوپی گوتیت محصول فرعی جانشینی برون‌زاد سولفیدهای مس حاوی آهن نظریر کالکوپیریت و بورنیت است. نوارهایی از مالاکیت تقریباً به موازات لایه‌بندی سنگ میزبان در بخش بالایی واحدهای احیایی کانی‌زایی شده تشکیل شده‌اند. این نوارهای، بافت‌های درزه اتحالی (seams) حاصل از اتحال دانه‌های آواری نظریر کوارتز هستند که سولفیدهای مس در میان آنها باقی مانده‌اند و در مرحله برون‌زاد به مالاکیت تبدیل شده‌اند (شکل ۵-الف و ۵-ب). این گونه درزه‌های اتحالی پس از مرحله دیاژنز اولیه و پیش از دیاژنز تأخیری، در جهت عمود بر فشار بار لیتوستاتیک و در سطوحی موازی با لایه‌بندی سنگ میزبان تشکیل شده‌اند [۲۴]. در اثر فشار بار لیتوستاتیکی، ذرات قابل حل به صورت شیمیایی اتحال، این ذرات در میان دانه‌های اتحال یافته غیرقابل اتحال، این ذرات در میان دانه‌های اتحال یافته (فضای درون درزه‌های اتحالی) باقی می‌مانند. این اجزای غیرقابل حل می‌توانند کانی سولفیدی و یا مواد آلی باشند [۲۴].

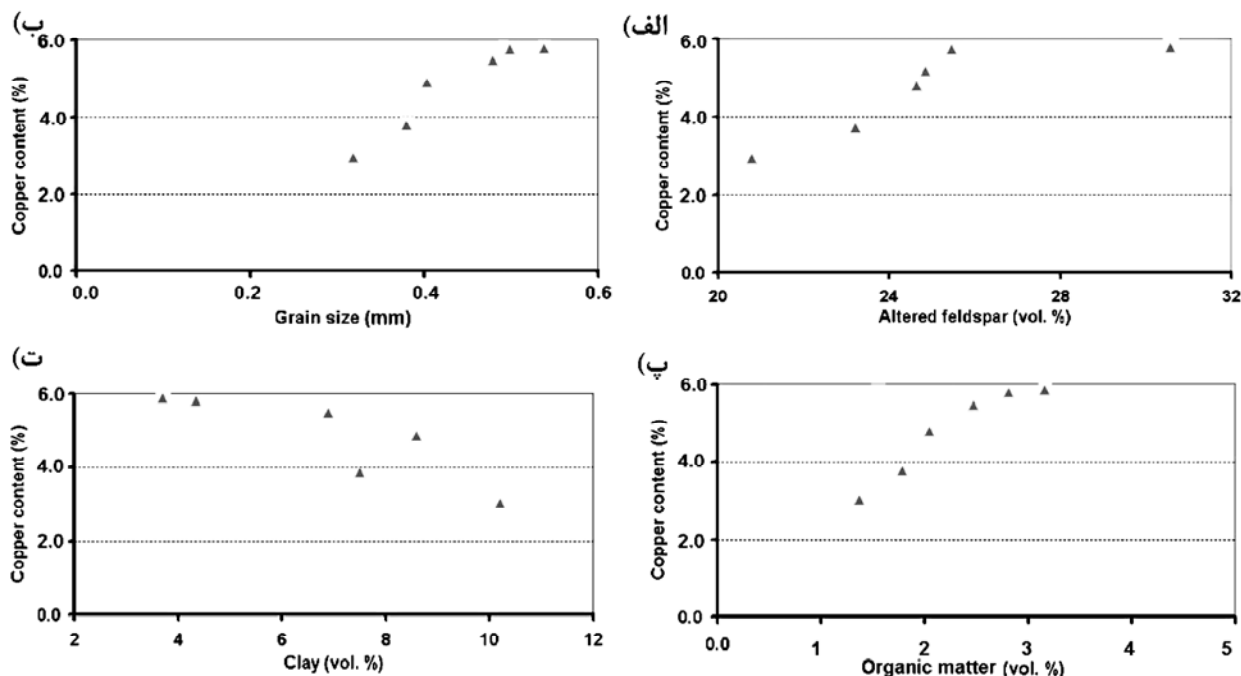


شکل ۶. سکانس کانیایی تشکیل شده و وقایع همراه با آن در ذخیره مس چشمکنن. محور افقی از چپ به راست عبارتند از: ۱) مرحله سین دیاژنز (اثرات اولیه دیاژنز) که در رسوبات بعد از تهنشست و تدفین بسیار کم عمق به وجود آمده است. ۲) مرحله دیاژنز اولیه (محیط تدفین با عمق متوسط). ۳) مرحله دیاژنز پیشرفته (تدفین عمیق). ۴) مرحله وقایع کوهزایی- تکتونیکی و ۵) مرحله دگرسانی بروزن زاد سنگ میزبان. محور عمودی وقایع سنگنگاری و کانیهای تشکیل شده را نشان می‌دهد.

جدول ۱. نقطه‌شماری و اندازه ابعاد دانه‌ها در ۶ نمونه از ماسه‌سنگهای چشمکنن.

نمونه		نقطه‌شماری (درصد حجمی)													
شماره	مقدار مس (%)	DQ	AQ	FF	AF	Por	SC	SR	LF	Mi	Cl	OM	Cal	GS	
Cu.s1	۲/۸	۵۲/۴	۳/۸	۰/۴	۲۱/۱	۱/۱	۱/۷	۱/۱	۵/۵	۰/۴	۱۰/۲	۱/۴	۰/۹	۰/۳۲	
Cu.s7	۵/۹	۵۰/۸	۲/۶	۰/۹	۲۶/۷	۲	۴/۷	۱/۲	۲/۲	۱/۱	۴/۲	۲/۹	۰/۷	۰/۵	
Cu.s11	۵/۶	۴۸/۳	۲/۷	۰/۵	۲۵/۳	۱/۴	۳/۸	۱/۸	۲/۴	۰/۹	۷/۱	۲/۴	۳/۴	۰/۴۸	
Cu.s19	۴/۷	۴۹/۸	۳/۳	۰/۴	۲۴/۹	۱/۴	۴	۰/۷	-	۱/۱	۸/۷	۲	۳/۶	۰/۴	
HR.s3	۶/۲	۴۵	۲/۴	۰/۷	۳۰/۹	۱/۷	۵/۶	۰/۴	۱/۵	۰/۹	۳/۹	۳/۲	۲/۸	۰/۵۵	
HR.s4	۳/۹	۵۱	۳/۸	۱/۴	۲۲/۳	۰/۷	۳/۲	۰/۷	۱/۶	۰/۹	۷/۶	۱/۷	۴/۲	۰/۳۸	

DQ: کوارتز آواری، AQ: فلدسپار فاقد دگرسانی، FF: فلدسپار دگرسان شده، AF: تخلخل، Por: خردسنج، SC: کانیهای سولفیدی پرکننده حفرات یا تخلخل اولیه، SR: کانیهای سولفیدی جایگزین دانه‌های آواری یا سیمان دیاژنتیکی، LF: میکا، Mi: رس، Cl: مواد ارگانیکی، OM: رس، Cal: کلسیت، GS: اندازه دانه بر حسب میلی‌متر.



شکل ۷. نمودارهای مربوط به روابط بین اختلاف اندازه دانه‌ها، ترکیب ماسه‌سنگهای چشمکنان و مقدار مس موجود در آنها براساس نقطه‌شماری و اندازه ابعاد دانه. (الف) نمودار رابطه بین درصد فلدسپارهای دگرسان شده و مقدار مس. (ب) نمودار رابطه بین اندازه دانه و مقدار مس. (پ) نمودار رابطه مقدار مواد ارگانیکی و مقدار مس. (ت) نمودار دو متغیره مقدار رس در برابر مقدار مس.

اسیدی ناشی از آن، تخریب برخی از کانیهای سیلیکاتی ادامه می‌یابد. در اثر تخریب کانیهای سیلیکاتی، جانشینی پلاژیوکلاز، توسط فلدسپار پتانسیم در جازا و نیز شسته شدن بیوکیت، عناصر فلزی موجود در شبکه آنها آزاد و این عناصر توسط هیدروکسیدهای آهن و اسمنکتیت موجود در زمینه رسی ماسه‌سنگ، جذب می‌شوند [۱۵]. در مراحل بعدی دیاژنز، طی تبلور و بلوغ اسیدیهای آهن بی‌شکل و تبدیل آنها به هماتیت [۳۱] و همچنانی تبدیل اسمنکتیت به ایلیت، محتوای فلزی درون این کانیها، از جمله مس، آزاد وارد سیال اسیدان می‌شوند و می‌توانند توسط آن حمل شوند. به نظر می‌رسد رخداد چنین سازوکاری در تشکیل نهشتہ مس چشمکنان محتمل باشد.

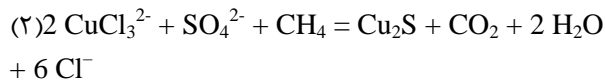
انتقال مس: سیالات محبوس کلریدی با منشأ دریایی یا تبخیری که از دیاژنز طبقات قرمز نشأت گرفته‌اند، به عنوان حمل‌کنندگان مس در این ذخیره در نظر گرفته می‌شوند. تشکیل کمپلکس‌های قوی بین مس و یون کلر، در شورابه‌های دمای پایین در بسیاری از مطالعات زمین‌شیمیایی بررسی شده است [۸، ۱۴، ۲۸، ۳۲ و ۳۳]. با توجه به این مطالعات،

منشأ

با توجه به مطالعات انجام شده، منشأ مس در طبقات فرودیواره، چگونگی انتقال آن و نیز مراحل مختلف تهنشست و مدل کانی‌سازی را می‌توان به صورت زیر برای ذخیره چشمکنان تشریح کرد:

منشأ مس: منشأ مس در این گونه ذخایر، طبقات قرمز با نفوذپذیری بالا و اکسید شده می‌باشند که در بخش‌های تحتانی و یا به صورت بین‌لایه‌ای با طبقات احیایی نهشتہ‌های مس چینه‌سان قرار دارند [۲۶، ۲۷ و ۲۸]. این طبقات به طور عمومل حاوی کانیهای ناپایداری نظیر پیروکسن، بیوتیت، هورنبلاند، مگنتیت و فلدسپار می‌باشند و کانیهای یادشده حاوی مقادیر جزئی از مس هستند [۳۰، ۳۱ و ۲۹]. در کانسارهای مس رسوبی و در طی فرآیند دیاژنز اولیه، هیدرولیز کانیهای سیلیکاتی مانند پلاژیوکلاز، هورنبلاند و بیوتیت موجب آزادشدن آهن موجود در شبکه آنها، به صورت هیدروکسید آهن فریک (پیش‌ماده اولیه هماتیت) می‌گردد که با تجمع در پیرامون دانه‌های آواری، باعث سرخ شدن رسوبات در مراحل اولیه دیاژنز می‌شود [۳۱]. همچنین، در طی دیاژنز اولیه و در اثر تخریب مواد آلی، اسید هومیک ایجاد می‌شود و در محیط

می‌پیوندد [۳۲]:



فعالیت گسلها و عملکرد شورابه به کاهش گرادیان حرارتی منجر شده، به طوری که به بلوغ دمایی مواد ارگانیکی انجامیده است. این فرآیند موجبات تجزیه بافت‌های چوبی فسیل شده را باعث شده است. تشکیل گرافیتوئیدها در ذخیره، شاهد محکمی دال بر تجزیه مواد ارگانیکی به‌واسطه عمل شورابه است. در کانه یا بافت مواد ارگانیکی، تنوع سولفیدهای مس به شرایط متفاوت fO_2 , fS_2 , محلول و حلایت وابسته به دما بستگی دارد [۳۹]. بر اساس شکل ۲، کمپلکس‌های مس در ابتدا و سپس کمپلکس‌های آهن حلایت خود را از دست داده‌اند، به‌طوری که در ابتدا مجموعه کانیهای غنی از مس (کالکوسیت و بورنیت) در واحد M^{sh1} تشکیل شده‌اند. همان‌طوری که محلولها در حالت پیش‌رونده از مس تهی شده‌اند، بورنیت-کالکوپیریت، کالکوپیریت-پیریت و در نهایت پیریت در افق‌های بالاتر تهنشست نموده‌اند (واحد M^{sh2}). منطقه‌بندی کالکوسیت-بورنیت-کالکوپیریت-پیریت همچنین می‌تواند از تهی شدگی تدریجی مس در طی جریان رو به بالای سیال کانه‌دار به وجود آمده باشد. عملکرد واحدهای شیلی و مارنی در بخش‌های بالایی زون‌های کانی‌سازی شده به عنوان سدهای زمین‌شیمیایی (به‌علت نفوذپذیری پایین)، مانع از عبور و نفوذ بیشتر سیال حاوی کمپلکس‌های کلریدی به سمت بالای سیستم گردیده و در نهایت تهنشست مس را سبب گردیده است. کنترل کننده‌های زمانی و کانی‌زایی این شرایط را فراهم می‌آورند که کانی‌سازی سولفیدی مس چینه‌سان چشمکنان را مدل سازی نماییم. کانی‌سازی در چشمکنان در بهترین حالت توسط مدل اختلاط سیال بعد از مرحله کوه‌زایی (post-orogenic) قابل توجیه است.

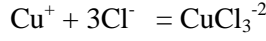
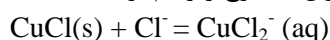
نتایج

مهمنترین نتایج حاصل از بررسیهای صحرایی، سنگنگاری و کانه‌نگاری در ذخیره مس چشمکنان تسوج به قرار زیر است:

- ۱- کانی‌سازی مس در این منطقه به شکل کالکوپیریت، بورنیت، کوولیت و کالکوسیت و همچنین در رخنمونهای سطحی در اثر اکسیداسیون به شکل مالاکیت و آزوریت رخداده است. توسعه زون‌های کانی‌سازی شده در منطقه به شکل

مهمنترین کمپلکس‌های کلریدی تشکیل‌شونده در شورابه‌های

محبوس طبقات قرمز را می‌توان به شرح زیر نام برد [۳۴]:



آب‌شویی مس از سنگ منشأ طبقات قرمز فروودیواره در مقادیر

pH پایین می‌تواند توسط واکنش زیر توجیه گردد [۳۲]:



به دنبال واکنش یادشده، باید منشأی برای شورابه قائل شد تا این که مس را انتقال دهد. تبخیریهایی که معمولاً به صورت بین‌لایه‌ای همراه با طبقات قرمز قرار دارند، می‌توانند منشأ چنین شورابه‌هایی در نظر گرفته شوند [۲۳]. از آن جایی که اکسیدهای آهن موجود در ماسه‌سنگها، می‌توانند روبنده‌های (Scavengers) خلی خوبی برای مس باشند، به نظر می‌رسد که تحرك مس در تشکیل زون‌های مینرالیزه در این منطقه به‌واسطه دسترسي مس به لیگندهای کلریدی و تشکیل کمپلکس‌های کلریدی بوده است. شورابه‌های کلریدی حاصل از تراکم و دیاژنز، مس را از کانیهای مس‌دار طبقات قرمز موجود شسته و به‌واسطه نفوذپذیری بالای ماسه‌سنگها و حضور سیستم‌های گسلی فراوان، به بخش بالایی سکانس رسوبی منتقل کرده‌اند.

کانی‌سازی و تجمع مس: تخریب کمپلکس‌های کلریدی مس در بین سدهای سولفیدی هیدروژن (H_2S) حاصل از تجزیه مواد ارگانیکی باعث تهنشست مس به فرم سولفیدهای هیپوژن در این منطقه شده است. گازهای احیاکننده H_2S , CH_4 و H_2 حاصل از تجزیه مواد ارگانیکی نقش بسیار مهمی را در این زمینه ایفا نموده‌اند [۳۵]. کمپلکس‌های کلریدی حاوی مس بعداً با گوگرد احیایی (پیریت، HS^- و H_2S) مواجه شده و در نتیجه جانشین پیریت سین‌دیاژنتیک گشته‌اند [۳۶ و ۳۷]. این مواد ارگانیکی توسط واکنش‌های ردoks (reactions که مسؤول تهنشست کانه هستند، مصرف می‌گردد. منشأ اصلی سولفیدهایی که به شکل پیریت‌های افشاران دانه‌ریز در سنگ میزبان احیایی یافت می‌گردد، می‌تواند به‌علت احیای سولفات‌توضیع مواد کربن‌دار و یا فعالیت باکتریایی در رسوبات باشد [۳۸]. یون سولفات معمولاً در شورابه‌های حاصل از تبخیریهای فراوان بوده و می‌تواند محلولهای اکسیدی غنی از مس را تشکیل دهد. جایی که این شورابه‌ها با سیالات احیایی مخلوط شوند، واکنش زیر به‌وقوع

و پیشنهادهای ارزنده و سازنده داوران محترم مجله سپاس‌گزاری می‌نمایند.

منابع

- [۱] افتخارزاده، " نقشه ۱:۲۵۰۰۰ زمین‌شناسی چهارگوش تبریز- پلدشت به مقیاس ۱:۲۵۰۰۰" ، سازمان زمین‌شناسی و اکتشافات معدنی کشور، (۱۳۷۰).
- [۲] خدابنده ع. ا. امینی فضل ع، " نقشه زمین‌شناسی چهارگوش تسوج به مقیاس ۱:۱۰۰۰۰" ، سازمان زمین‌شناسی و اکتشافات معدنی کشور، (۱۳۷۲).
- [۳] زارعی راد. م. خدابنده ع. ا، " گزارش پایان عملیات اکتشاف تکمیلی مس چشمکنان تسوج" ، وزارت صنایع و معادن کشور، استان آذربایجان شرقی، (۱۳۸۶).
- [۴] آقاباتی ع، "زمین‌شناسی ایران" ، سازمان زمین‌شناسی ایران، (۱۳۸۳) ۶۰۶ ص.
- [۵] مختاری د.، "نقش فعالیتهای تکتونیکی در تکامل مخروط افکنه های دامنه شمالی میشوداغ، شمال غرب ایران" ، فضای جغرافیایی، شماره ۵ (۱۳۸۱).
- [۶] مختاری د.، "پژوهشی در اثرات ژئومورفوژئیکی گسل شمالی میشو و آسیب پذیری سکونت گاههای واقع در مسیر آن" ، طرح تحقیقاتی دانشگاه تبریز، (۱۳۸۳).
- [۷] مختاری د.، "تحلیل زمین‌ساخت رسوبی چاله تکتونیکی و در حال گسترش مرند" ، پژوهش‌های جغرافیایی، شماره ۶۰ (۱۳۸۶).
- [8] Brown A. C., "Refinements for footwall red-bed diagenesis in the sediment-hosted stratiform copper deposits model" , Economic Geology 100 (2005) 765–771.
- [9] Brown A. C., "Genesis of native copper lodes in the Keweenaw district, northern Michigan: A hybrid evolved meteoric and metamorphogenic model" , Economic Geology 101 (2006) 1437–1444.
- [10] Brown A. C., "A process-based approach to estimating the copper derived from red beds in the sediment-hosted stratiform copper deposit model" , Economic Geology 104 (2009) 857–868.
- [11] Hitzman M., Kirkham, R., Broughton, D., Thorson, J., Selly, D., "The sediment-hosted stratiform copper ore system" , In: 100th Anniversary volume. Society of Economic Geologists (2005) 609–642.

چینه‌سان بوده و در داخل ماسه‌سنگهای درشت دانه سبز- خاکستری رخ داده است.

۲- رخساره ماسه‌سنگهای میزبان زون‌های کانی‌سازی شده مس در حد ساب آرکوز و لیت‌آرنايت و ساب لیت‌آرنايت می‌باشد.

۳- موقعیت کانی‌سازی در این منطقه در کنترل رخساره رسوبی و تمرکز مواد ارگانیکی است.

۴- مطالعات میکروسکوپی حکایت از آن دارند که زون‌های میبرالیزه در منطقه به چهار شکل توسعه یافته‌اند: (۱) حضور در حفرات حاصل از انحلال دانه‌های فلدسپار، (۲) پرکنده فضاهای خالی ناشی از انحلال فشاری توسط دیاژنز با بافت درزه انحلالی، (۳) جانشینی سولفیدهای مس در ساختارهای سلولی فسیلهای گیاهی و (۴) به صورت سیمان میان‌دانه‌ای (نوعی از بافت جانشینی).

۵- دسترسی به لیگاندهای کلریدی، حضور مقادیر بالای کلاستهای فسیلی گیاهی، دیاژنز، عملکرد مارن و شیل‌ها به عنوان سد زمین‌شیمیایی وجود سیستم‌های گسلی از جمله عواملی هستند که نقشی ارزنده در رخداد و توسعه کانی‌سازی منطقه ایفا کرده‌اند.

۶- تشکیل کانیهای مس (مالاکیت) بعد از مرحله دیاژنز اولیه و بعد از تشکیل کانیهای هماتیت، رسها و سیمان کلسیتی، و همچنین قبل از رورشدهای کوارتز و تراکم رسوبات صورت گرفته است.

۷- منطقه‌بندی گستره سولفیدهای آهن و مس و همچنین هماهنگی ضعیف با لایه‌بندی نشان می‌دهند که کانی‌زایی بر روی لایه‌های زون انتقالی بعد از تنشست، هم‌پوشانی شده است. کاهش نفوذ پذیری و تخلخل رسوبات میزبان به‌واسطه نئومورفیسم و سیمانی‌شدن، پیدایش سیالات حاوی فلز را محدود ساخته است.

۸- با توجه به نتایج به‌دست آمده به نظر می‌رسد که کانی‌سازی مس در منطقه چشمکنان شباهت زیادی به کانسارهای مس رسوبی تیپ طبقات قرمز دارد.

تشکر و قدردانی
نویسنده‌گان از حمایتهای مالی معاونت پژوهشی و تحصیلات تکمیلی دانشگاه ارومیه برخوردار بوده‌اند، لذا شایسته است نهایت سپاس و قدردانی خود را ابراز دارند. همچنین از نظرات

- [24] Durieux C. G., Brown A. C., "Geological context, mineralization, and timing of the Juramento sediment-hosted stratiform copper-silver deposit, Salta district, northwestern Argentina", *Mineralium Deposita* 42 (2007) 879–899.
- [25] White D. E., "Environments of generation of some basemetalliferous ore deposits", *Economic Geology* 63 (1968) 301–335.
- [26] Lustwerk R. L., Rose A.W., "Source and segregation of transition metals during diagenetic formation of the Redstone stratiform copper deposit, Mackenzie Mountains, Northwest Territories, Canada", Geological Society of America, Abstracts with Program 15 (1983) 632p.
- [27] Brown A. C., "An epigenetic origin for stratiform Cd-Pb-Zn sulphides in the lower Nonesuch Shale, White Pine, Michigan", *Economic Geology* 69 (1974) 271–274.
- [28] Brown A. C., "Alternative sources of metals for stratiform copper deposits", *Precambrian Research* 25 (1984) 61–74.
- [29] Zielinski A., Bloch S., Walker T. R., "The mobility and distribution of heavy metals during the formation of first cycle red beds", Geological Association of Canada, Special Paper 36 (1983) 710p.
- [30] Walker T. R., "Formation of red beds in modern and ancient deserts", Geological Society of America, Bulletin 78 (1967) 281–282.
- [31] Walker T. R., "Application of diagenetic alterations in redbeds to the origin of copper in stratiform copper deposits", Geological Association of Canada Special Paper 36 (1989) 85–96.
- [32] Rose A. W., "The effect of cuprous chloride complexes in the origin of red-bed copper and related deposits", *Economic Geology* 71 (1976) 1036–1048.
- [33] Sillen G. L., Martell A. E., "Stability constants of metal ion complexes", Spec. Publ. Chem. Soc. London 17 (1964) 754p.
- [34] Mesmer R. E., Baes C. F., "The hydrolysis of cations; a critical review of hydrolytic species and their stability constants in aqueous solution", Oak Ridge Natl. Lab. ORNL-NSF-EATC-3 (1974) Part 3.
- [35] Zhuang H., Ran C., He, M. et al., "Interactions between copper, salt and organic matter and the formation of sandstone-hosted copper deposits", *Acta Geologica Sinica* 70 (1996) 162–172.
- [12] Hitzman M. W., Selley D., Bull S., "Formation of Sedimentary Rock-Hosted Stratiform Copper Deposits through Earth History", *Economic Geology* 105 (2010) 627–639.
- [13] Brown A. C., "World-class sediment-hosted stratiform copper deposits: characteristics, genetic concepts and metallocents", *Australian Journal Earth Science* 44 (1997a) 317–328.
- [14] Brown A. C., "Global-scale constraints on the formation of sediment-hosted stratiform copper deposits", Proceedings, International Cornet symposium, Mons (1997b) 93–102.
- [15] Brown A. C., "Redbeds: source of metals for sediment-hosted stratiform copper, sandstone copper, sandstone lead, and sandstone uranium-vanadium deposits", *Geol Assoc Can Geotext* 4 (2003) 121–133.
- [16] Boyle R. W., Brown A. C., Jefferson C. W., Jowett E. C., Kirkham R.V., "Sediment-hosted stratiform copper deposits", Geological Association of Canada, Special Paper 36 (1989) 710p.
- [17] Kirkham R.V., "Sediment-hosted stratiform copper", *Geol Surv Can Geol Canada* 8 (1995) 223–240.
- [18] Folk R. L., "Petrology of Sedimentary Rocks", Hemphill's Book Store. Austin, Texas (1980) 185p.
- [19] MacIntyre T. J., "Fault-controlled hydrocarbon-related bleaching and sediment-hosted copper mineralization of the Jurassic Wingate sandstone at the Cashin Mine, Montrose county, Colorado", M.S thesis, Department of Geology and Geological Engineering (2005).
- [20] Asael D., Matthews A., Oszczepalski S., Bar-Matthews M., Halicz L., "Fluid speciation controls of low temperature copper isotope fractionation applied to the Kupferschiefer and Timna ore deposit", *Chemical Geology* 262 (2009) 147–158.
- [21] Subias I., Fanlo I., Mateo J., "A model for the diagenetic formation of sandstone-hosted copper deposits in Tertiary sedimentary rocks, Arago'n (NE Spain): S/C ratios and sulphur isotope systematic", *Ore Geology Reviews* 23 (2003) 55–70.
- [22] Brown A. C., "Zoning in the White Pine copper deposit, Ontonogan County, Michigan", *Economic Geology* 66 (1971) 543–573.
- [23] Rose A. W., "Mobility of copper and other heavy metals in sedimentary environments", *Geol Assoc Can Special Paper* 36 (1989) 97–110.

orebody of the Zambian Copperbelt", Geological Association of Canada Special Paper 36 (1989) 499-518.

[39] Liu J., Li C., Zhang Q., Pan J., Liu Y., Liu X., Liu S., Yang W., "Wood cell texture from Jinman copper deposit in west Yunnan and its genesis significance ", Science in China 31(2001) 89-95.

[36] Lur'ye A. M., "Formation conditions of copper-sandstone and copper-shale deposits", Berlin, Heidelberg, Springer-Verlag (1986) 477-491.

[37] Sutton S. J., Maynard J. B., "A fluid mixing model for copper mineralization at Konkola North, Zambian Copperbelt", Journal of African Earth Sciences 42 (2005) 95-118.

[38] Sweeney M. A., Binda P. L., "The role of diagenesis in the formation of the Konkola Cu-Co